



بررسی اثر غلظت و نوع الکتروولیت بر کیفیت و عمق شیارهای مینیاتوری تولید شده به روش تخلیه الکتروشیمیایی

نسیم صباحی^{۱*}، محمد رضا رازفر^۲، منصور حاجیان^۳، پویا محمدی^۴

۱- دانشجوی کارشناسی ارشد، مهندسی مکانیک، دانشگاه صنعتی امیر کبیر، تهران

۲- استاد، مهندسی مکانیک، دانشگاه صنعتی امیر کبیر، تهران

۳- دانشجوی دکترا، مهندسی مکانیک، دانشگاه صنعتی امیر کبیر، تهران

۴- دانشجوی کارشناسی ارشد، مهندسی مکانیک، دانشگاه صنعتی امیر کبیر، تهران

* تهران، صندوق پستی ۴۴۱۳، ۰۵۸۷۵-۴۴۱۳، nasim.sabahi@aut.ac.ir

چکیده

به کارگیری قطعات شیشه‌ای در تجهیزات مرتبط با صنایع میکروالکتریک، مهندسی پزشکی و بسیاری از صنایع مدرن، به علت ویژگی‌های خاص نظری شفافیت، ضریب هدایت حرارتی پائین و مقاومت شیمیایی مناسب؛ بسیار مورد توجه قرار گرفته است. امروزه روش تخلیه الکتروشیمیایی با کارگیری همزمان یدیده‌های حرارتی و شیمیایی به عنوان یکی از مناسب‌ترین روش‌های ماشینکاری برای ایجاد شیارهای کوچک بر روی قطعات شیشه‌ای طرح شده است. پارامترهای فراوانی در کیفیت و هندسه شیارهای فراوانی در غلظت و نوع الکتروولیت که از جمله پارامترهای الکتروشیمیایی مستنت: بررسی می‌گردد. الکتروولیت‌های مورد استفاده در این مقاله NaOH و KOH هستند که در غلظت‌های وزنی بالا و پائین مورد آزمایش قرار گرفته‌اند. نتایج حاصل از آزمایش‌های تجربی نشان داد با افزایش غلظت الکتروولیت، عمق شار افزایش نزدیک برداری و خودگی می‌گردد. عمق شار تولید شده با محلول KOH نسبت به NaOH با درصد وزنی و شرایط آزمایش یکسان، بیشتر است. در غلظت وزنی پائین، کیفیت شیارهای تولید شده قابل قبول نیست. با افزایش غلظت، سطح شیارهای ماشینکاری شده هموارتر خواهد بود. در شیارهای تولید شده توسط ۰.۳۵٪ KOH ترک مشاهده شد. شیارهای تولید شده توسط ۰.۲۵٪ NaOH بهترین کیفیت سطح را دارند.

کلید واژگان: تخلیه الکتروشیمیایی، شیارهای مینیاتوری، پارامترهای الکتروشیمیایی، غلظت الکتروولیت

Investigating the effect of the electrolyte concentration and type of electrolyte on the surface quality and depth of micro-channels produced by electrochemical discharge machining (ECDM)

Nasim Sabahi^{*}, Mohammad Reza Razfar, Mansor Hajian, Pooya Mohammadi

Department of Mechanical Engineering, Amirkabir University, Tehran, Iran.

* P.O.B. 15875-4413 Tehran, Iran, nasim.sabahi@aut.ac.ir

ABSTRACT

Utilization of glass pieces are considered in the equipments associated with micro-electrical industries, medical engineering and most of modern industries because of its unique properties like its transparency, low thermal conductivity and good chemical resistance. Among machining technologies, electrochemical discharge machining is the most appropriate method to create micro-channels on glass pieces by applying chemical and thermal phenomena at the same time. Several parameters affect the quality and geometry of micro-channels. In this paper, the effect of concentration and type of electrolyte (the electrochemical parameters) will be considered. The electrolytes used are aqueous NaOH and KOH solutions (15, 25 and 35 wt%). The results on depth showed that it increases by increasing the concentration because the corrosion and removed material increase with the electrolyte concentration. The channel depth machined with KOH solution is deeper than NaOH in the same experimental condition and concentration. Micro-channels machined with lower electrolyte concentration are not acceptable. As the electrolyte concentration increases, a smoother micro-channel surface can be achieved. The crack appears on the surface of channels machined with 35 wt% KOH electrolyte. 25 wt% NaOH electrolyte concentration results in the best surface quality.

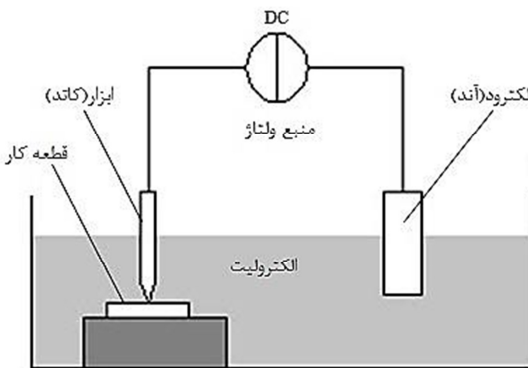
Keywords: Electrochemical Discharge, Electrochemical Parameters, Electrolyte Concentration, Micro-Channels.

و نیز مهندسی پزشکی مانند سنسورهای جریان، دستگاه‌های انتقال دارو کاربرد فراوانی دارند در کنار ویژگی‌های مناسب ذکر شده برای شیشه، قابلیت برآمدبرداری و شکل‌بندی پائین آن سبب شده تا به کارگیری روش‌های متداول ماشین‌کاری برای برآمدبرداری از آن با مشکلاتی همراه باشد. بدین ترتیب روش‌های مدرن ماشین‌کاری، برای ماشین‌کاری شیشه مورد توجه قرار گرفتند. این روش‌ها عموماً شامل روش‌های برابرداری مکانیکی

۱- مقدمه شیشه از جمله موادی است که به دلیل ویژگی‌های خاص نظری شفافیت، سختی بالا، ضریب هدایت حرارتی بسیار کم و مقاومت شیمیایی مناسب برای ساخت قطعات در اندازه‌های کوچک بسیار مورد توجه قرار گرفته است. به طور عمده قطعات شیشه‌ای در اندازه‌های کوچک در تجهیزات مرتبط با صنایع میکروالکتریک مانند میکروشتات‌سنج‌ها، میکروآکتورها، میکروپمپ‌ها

برای ارجاع به این مقاله از عبارت ذیل استفاده نمایید:

N. Sabahi, M.R. Razfar, M. Hajian, P. Mohammadi, Investigating the effect of the electrolyte concentration and type of electrolyte on the surface quality and depth of micro-channels produced by electrochemical discharge machining (ECDM), *Modares Mechanical Engineering, Proceedings of the Advanced Machining and Machine Tools Conference*, Vol. 15, No. 13, pp. 401-405, 2015 (in Persian) (فارسی)



شکل ۱ شماتیک محفظه‌ی فرآیند ECDM

برای انجام این فرآیند به کارگیری مکانیزم حرکتی دقیقی که فاصله بین ابزار و قطعه کار را در طول فرآیند ثابت نگه داشته و توانایی ایجاد سرعت‌های حرکتی و پیشروی بسیار پایین (در حدود $5 - 40 \mu\text{m}/\text{s}$) بهمنظور بالا بردن تکرارپذیری در یافتن موقعیت جدید توسط محور z دستگاه را دارا باشد، ضروری است.

قطعه کار (شیشه با ضخامت ۱mm) همراه با الکتروود آند (فولاد زنگ نزن)، داخل محفظه فرآیند قرار گرفته‌اند و همزمان ابزار توسط گلگی ماشین (محور z) نگهداشته شده است. لازم به ذکر است چرخش ابزار توسط موتور DC تأمین می‌شود (شکل ۲).

الکتروود ابزار از جنس فولاد تندیر^۱ و با قطر $5\text{mm} / 0.05\text{mm}$ می‌باشد. نوک ابزار توسط کاغذ سنباده اصلاح شده و به شکل تخت دارآورده شده است. قبل از طی مسیر مشخص شده برای ایجاد شیار، الکتروود ابزار با استفاده از حرکت دادن محور z توسط موتور پلهای^{۱۱}، در موقعیت ابتدای روی سطح شیشه قرار می‌گیرد. در نهایت با استفاده از مکانیزم پیشروی چلی^{۱۲}، فاصله ابزار و سطح شیشه روی $15\mu\text{m}$ تنظیم می‌شود. محفظه تا سطح مشخص (تا حدود 2mm) بالاتر از سطح شیشه) از الکتروولیت پر می‌شود. به منظور تأمین ولتاژ ماشین کاری بین ابزار و الکتروود آند، یک منبع قدرت در نظر گرفته شده است. شیارها به طول 10mm روی شیشه ماشین کاری می‌شوند. شکل موجی حاصل از پاسخ ولتاژ و جریان توسط اسیلوسکوپ اندازه‌گیری می‌شود. در نهایت شیارهای تولید شده توسط میکروسکوپ نوری xps136 مشاهده می‌شود.



شکل ۲ محفظه‌ی فرآیند ECDM

- 9. Stainless steel
- 10. High speed steel
- 11. Stepper motor
- 12. Gravity feed

(ماشین کاری آتراسونیک و ماشین کاری جت ذرات ساینده)، روش‌های حرارتی (ماشین کاری لیزر) و روش‌های شیمیایی (روش خوردگی شیمیایی با اسید هیدروفلوریک) می‌باشند. روش‌های مکانیکی عموماً سبب ایجاد ترک‌های ریز و کاهش کیفیت سطح ماشین کاری شده، می‌شوند. روش‌های حرارتی نیز منجر به تخریب لایه‌ای از سطح شیشه بر اثر حرارت، شده و کیفیت سطح ماشین کاری کاهش می‌یابد. روش‌های شیمیایی نظیر خوردگی شیمیایی با اسید هیدروفلوریک، با وجود ماشین کاری با کیفیت سطح بالا، بسیار زمان‌بر و کند پوده و از طرفی قادر به ایجاد حفره با نسبت عمق به قطر زیاد نمی‌باشند. در این میان روش ماشین کاری تخلیه الکتروشیمیایی^۱ با به کارگیری همزمان پدیده‌های حرارتی و شیمیایی به عنوان یک روش مناسب برای ایجاد شیارهای کوچک بر روی شیشه مطرح شده است [۱].

اولین کاربرد ماشین کاری تخلیه الکتروشیمیایی در سوراخ‌کاری بود که در سال ۱۹۶۸ توسط کوراوفوچی^۲ و سودا^۳ ارائه شد [۲].

نامهای متعددی برای این فرآیند مورد استفاده قرار گرفته است. مانند ماشین کاری قوس الکتروشیمیایی (کوبوتا^۴)^[۳]، ماشین کاری جرقه الکتروشیمیایی (جین^۵ و همکارانش^۶)^[۴]، حکاکی شیمیایی به کمک جرقه (لانگ^۷ و همکارانش^۸)^[۵]، ماشین کاری تخلیه الکتروشیمیایی (گوش^۹ و همکارانش^{۱۰})^[۶]، این تنوع در نامها نشان دهنده پیچیده بودن این فرآیند است و توضیحات متعددی برای توصیف طبیعت این فرآیند پیشنهاد شده است.

پارامترهای زیادی در کیفیت هندسه‌ی شیارهای مینیاتوری تولید شده توسط این روش نقش دارند. می‌توان این پارامترها را به پارامترهای ابزار، منبع تغذیه و الکتروولیت تقسیم‌بندی کرد. کارهای تحقیقاتی زیادی روی این پارامترها برای رسیدن به کیفیت مطلوب در تولید شیارها انجام شده است. پارامترهای مربوط به الکتروولیت شامل مواردی چون جنس الکتروولیت، غلطت، دما و ترکیبات موجود در الکتروولیت می‌باشد.

در سال ۱۹۷۳، شخصی به نام کوک^{۱۱}^[۷] توسط همکارانش تحقیقاتی تحریبی در الکتروماشین کاری انجام داد که در آزمایشات خود از الکتروولیت‌های متعددی استفاده کرد، کوک نشان داد برای این فرآیند خاص، محلول‌های آبی نتایج بهتری را رقم خواهد زد.

در این مقاله اثر غلظت و نوع الکتروولیت بر کیفیت سطح و عمق شیارها بررسی می‌شود که بدین منظور از دو نوع الکتروولیت NaOH و KOH که جزء محلول‌های آبی محسوب می‌شوند، با درصدهای وزنی 15% ، 25% ، 35% استفاده شده است.

۲- آماده‌سازی دستگاه

تجهیزات آزمایش ترکیب شده از محفظه‌ی فرآیند (سلول الکتروشیمیایی) و میز $x-z$ دقیق. شماتیک محفظه‌ی فرآیند در شکل ۱^[۸] آورده شده است. اجزای تشکیل دهنده‌ی محفظه‌ی فرآیند شامل ابزار (کاتد-قطب منفی)، آند (قطعه‌ای با سطح مقطع چند صد برابر بزرگتر از سطح مقطع ابزار-قطب مثبت)، الکتروولیت (NaOH و KOH)، قطعه کار (شیشه) و منبع تغذیه می‌باشد.

1. Electrochemical Discharge Machining(ECDM)

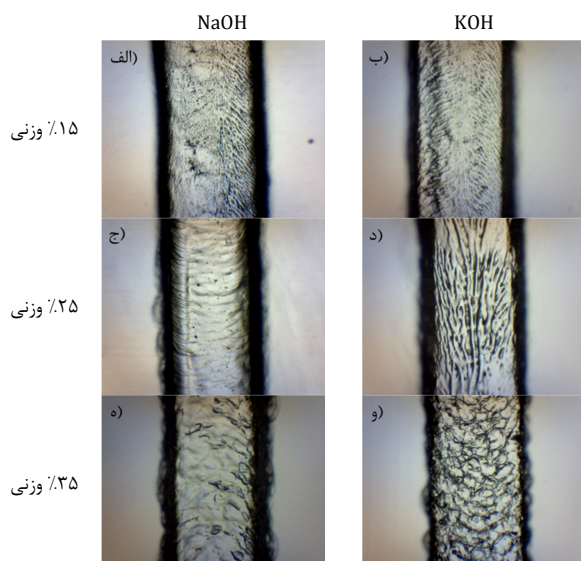
2. Kurafuji
3. Suda
4. Kubota
5. Jain
6. Langen
7. Ghosh
8. Cook

کیفیت شیارهای تولید شده قابل قبول نیست زیرا به علت کمبود یون، اج شیمیایی فقط در منطقه تخلیه شیمیایی که دمای بالاتری را تجربه می‌کند، انفاق می‌افتد [۱۰]. در الکتروولیت $NaOH$ ۳۵٪ وزنی آسبه‌های ناشی از خوردگی، بیشتر از غلظت‌های ۲۵٪ وزنی می‌باشد؛ زیرا با افزایش غلظت یون‌های داخل الکتروولیت، اج شیمیایی تشید شده و نرخ براده برداری و میزان خوردگی افزایش می‌یابد [۱۱].

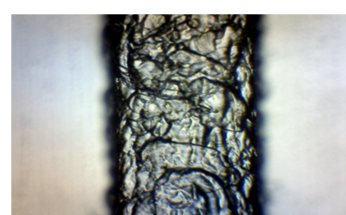
الکتروولیت KOH نسبت به $NaOH$ قدرت خوردگی بالاتر دارد. در واقع یون‌های K^+ بزرگ‌تر از Na^+ هستند، بنابراین وقتی یون‌های K^+ روی سطح شیشه پیشینند، استحکام آن را کاهش می‌دهند. پس در شرایط ماشین‌کاری پکسان، نرخ براده برداری توسط محلول KOH بیشتر از $NaOH$ می‌باشد [۱۲]. همان‌طور که از تصاویر شیارها پیداست، خوردگی سطح شیار تولید شده با محلول KOH نسبت به $NaOH$ در شرایط یکسان بیشتر است.

شکل ۵ مربوط به شیار تولید شده در الکتروولیت KOH با غلظت ۳۵٪ وزنی می‌باشد. همان‌طور که از شکل ۶ مشخص است، عمق بدست آمده در یک غلظت وزنی معین در الکتروولیت KOH نسبت به $NaOH$ بیشتر است که این به دلیل پیشتر

۴-۱-اثر نوع و غلظت الکتروولیت روی عمق شیار
همان‌طور که از شکل ۶ مشخص است، عمق بدست آمده در یک غلظت وزنی معین در الکتروولیت KOH نسبت به $NaOH$ بیشتر است که این به دلیل پیشتر



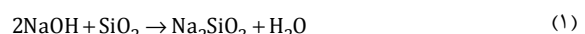
شکل ۴ شیارهای ماشین‌کاری شده در ولتاژ ۳۲ ولت و سرعت پیشروی ابزار ۱۰ $\mu\text{m}/\text{s}$ با استفاده از دو نوع الکتروولیت $NaOH$ و KOH با غلظت‌های وزنی مختلف



شکل ۵ رشد ترک در سطح شیار ماشین‌کاری شده توسط الکتروولیت KOH با غلظت ۳۵٪ وزنی، در ولتاژ ۳۲ ولت و سرعت پیشروی ۱۰ $\mu\text{m}/\text{s}$

۳- طرز کار ماشین‌کاری
دو الکترود داخل الکتروولیت آبی غوطه‌ور هستند، با برقراری جریان DC فرآیند الکترولیز آغاز شده و حباب‌ها بر روی سطح ابزار و الکترود آند، تشکیل می‌شوند. با ادامه‌ی فرآیند و افزایش ولتاژ، حباب‌ها به یکدیگر پیوسته و یک فیلم گاز بر روی ابزار تشکیل می‌شود. با رسیدن سطح ولتاژ به یک ولتاژ بحرانی، فیلم گاز شکسته شده و جرقه الکتریکی زده می‌شود. در صورتی که فاصله بین ابزار و قطعه کار کمتر از ۲۵ μm باشد، گرمای ناشی از تخلیه الکتریکی و فعل و انفعالات شیمیایی الکتروولیت با قطعه کار، برآمدگاری از سطح قطعه کار صورت می‌گیرد.

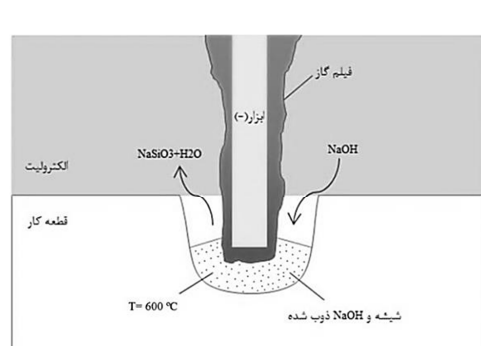
همان‌طور که اشاره شد روش ماشین‌کاری تخلیه الکتروشیمیایی با بهره‌گیری همزمان پدیده‌های حرارتی و شیمیایی موجب برآمدگاری از سطح قطعه کار می‌شود. مکانیزم براده برداری از قطعه کار توسط اج شیمیایی ۱ و با استفاده از محلول سدیم هیدروکسید در شکل ۳ [۹] نشان داده شده است. حرارت تولید شده توسط تخلیه شیمیایی، قطعه کار را بصورت موضعی گرم می‌کند که باعث کاهش ویسکوزیته شیشه و بالا رفتن اج شیمیایی توسط رادیکال‌های OH^- از الکتروولیت می‌شود. به سبب حرارت ایجاد شده (در حدود ۶۰°C) که بالاتر از دمای ذوب $NaOH$ (۳۱۸°C) و پایین‌تر از نقطه‌ی ذوب آن می‌باشد (۱۳۸۸°C) [۹]. آب در مجاورت ناحیه ماشین‌کاری تبخیر شده و تنها $NaOH$ به فرم نمک ذوب شده باقی می‌ماند که به همراه منطقه‌ای از شیشه با ویسکوزیته کاهش یافته در مقابل الکترود ابزار شکل می‌گیرد و فرآیند اج شیمیایی به واسطه‌ی رابطه‌ی (۱) صورت می‌گیرد. سدیم سیلیکات شکل گرفته توسط الکتروولیت خارج می‌شود.



۴- تحلیل نتایج

۴-۱-اثر نوع و غلظت الکتروولیت بر کیفیت سطح شیار
شکل ۴ نمونه شیارهای ماشین‌کاری شده توسط دو نوع الکتروولیت KOH و $NaOH$ با غلظت‌های وزنی ۱۵٪، ۲۵٪، ۳۵٪ در ولتاژ ۳۲ ولت، سرعت پیشروی ابزار ۱۰ $\mu\text{m}/\text{s}$ و سرعت دورانی ۸۰۰ rpm را نشان می‌دهد. با توجه به شکل ۴ مشاهده می‌شود که بافت و کیفیت سطح شیار با تغییر غلظت و نوع الکتروولیت تغییر می‌کند.

همان‌طور که از شکل ۴-الف و ۴-ج مشخص است با افزایش غلظت الکتروولیت $NaOH$ ، کف شیار از حالت پرماند به حالت اسفنجی و مسطح تر تغییر می‌یابد [۹]. با توجه به شکل ۴-الف و ۴-ب، در غلظت ۳۵٪ وزنی،



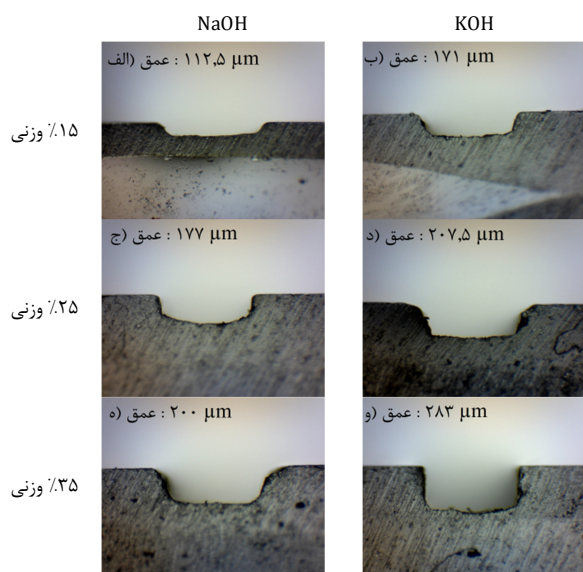
شکل ۳ مکانیزم براده برداری از قطعه کار توسط اج شیمیایی

1. Chemical Etching

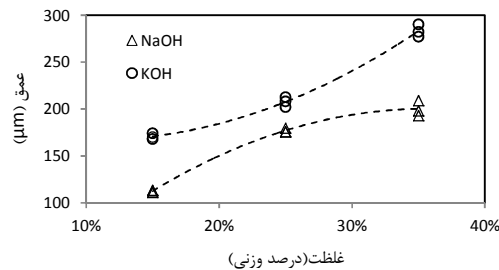
میزان جریان متوسط در غلظت ۳۵٪ وزنی، کمتر از جریان متوسط در غلظت ۲۵٪ وزنی می‌باشد و این به دلیل کاهش هدایت الکتریکی ناشی از برهم‌کنش یونی می‌باشد. در واقع در غلظت ۳۵٪ وزنی، اثر خوردگی شیمیایی نسبت به میزان انرژی حرارتی، نقش بیشتری در افزایش عمق دارد. برای اندازه‌گیری عمق شیارها، ابتدا شیار مورد نظر از سطح برش زده شد و پس از سنباده‌زنی و شستشو در محلول آب و الکل، با استفاده از میکروسکوپ نوری و لنز دیجیتال قابل نصب در چشمی میکروسکوپ، عمق شیار اندازه‌گیری شد. عمق شیارهای ماشین کاری شده در ولتاژ ۳۲ ولت برای هر دو الکتروولیت و در درصدهای وزنی مختلف در شکل ۸ نشان داده شده است. مقدار عمق ذکر شده در تصاویر، مقدار متوسط عمق حاصل از ۳ بار تکرار هر آزمایش است.

۵- جمع‌بندی و نتیجه‌گیری

در این مقاله نشان داده شد که پارامترهای نوع و غلظت الکتروولیت روی کیفیت سطح و عمق شیارهای مینیاتوری تأثیرگذار است. کیفیت سطح شیارهای تولید شده توسط محلول NaOH نسبت به KOH در شرایط مشابه، به علت بالا بودن قدرت خورنده‌ی و ضریب هدایت حرارتی KOH نسبت به NaOH، بهتر است. همچنین در شرایط مشابه عمق شیار تولید شده توسط KOH نسبت به NaOH بیشتر می‌باشد. در غلظت‌های کم الکتروولیت، به علت پایین بودن نرخ برادرداری، کیفیت سطح شیارهای تولید شده قابل قبول نیست. با افزایش غلظت، کف شیار وضعیت مسطح‌تری پیدا کرده و کیفیت سطح قابل قبول می‌باشد. همچنین افزایش غلظت، افزایش عمق کانال‌ها را در پی خواهد داشت. اگر غلظت الکتروولیت از حد مشخصی فراتر رود، رشد ترک‌ها و آسیبهای ناشی از خوردگی روی سطح شیار را شاهد خواهیم بود که این اتفاق به ترتیب در شیارهای تولید شده توسط الکتروولیت KOH ۳۵٪ وزنی و NaOH ۲۵٪ وزنی دیده شد. در نهایت شیارهای تولید شده توسط الکتروولیت ۲۵٪ وزنی NaOH در ولتاژ ۳۲ ولت، شرایط مطلوب مورد نظر را دارا می‌باشد.

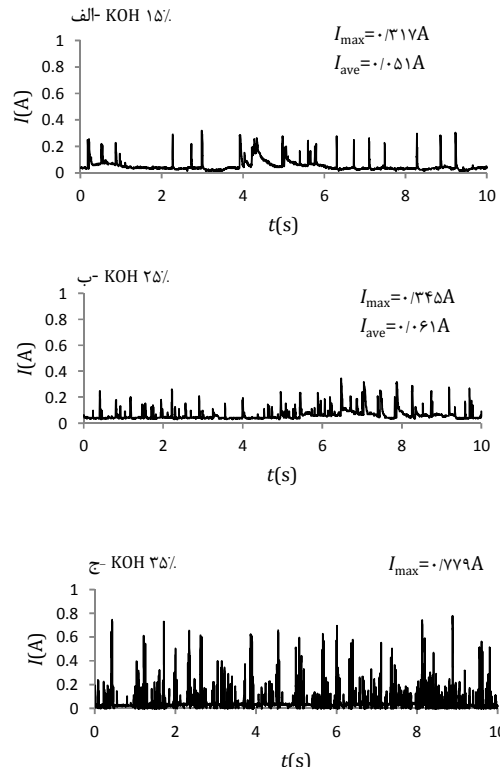


شکل ۸ عمق شیارهای ماشین کاری شده در ولتاژ ۳۲ ولت و سرعت پیشروی ابزار ۱۰ µm/s با استفاده از دو نوع الکتروولیت NaOH و KOH با غلظت‌های وزنی مختلف



شکل ۶ عمق شیارهای مینیاتوری تولید شده با غلظت‌های وزنی مختلف دو الکتروولیت NaOH و KOH (۱۵٪، ۲۵٪ و ۳۵٪)

بودن قدرت خورنده‌ی محلول KOH نسبت به NaOH است. لازم به ذکر است مقادیر گزارش شده مربوط به ۳ بار تکرار در هر آزمایش می‌باشد. با افزایش غلظت، عمق شیار نیز افزایش می‌یابد. عمق شیار ماشین کاری شده به میزان خوردگی ناشی از اج شیمیایی و مقدار انرژی حرارتی ناشی از تخلیه الکتروشیمیایی وابسته است. همان‌طور که اشاره شد با افزایش غلظت یون‌های داخل الکتروولیت، اج شیمیایی تشدید شده و نرخ برادرداری و میزان خوردگی افزایش می‌یابد. همچنین با افزایش غلظت، انرژی حرارتی ناشی از تخلیه الکتروشیمیایی افزایش می‌یابد. این مقدار انرژی با جریان رابطه مستقیم دارد و با افزایش جریان، افزایش می‌یابد [۱۱]. همان‌طور که از شکل ۷ مشخص است، با افزایش غلظت الکتروولیت تا ۲۵٪ وزنی، مقدار جریان ماکریزم و جریان متوسط افزایش می‌یابد. در نتیجه میزان انرژی حرارتی و عمق نیز افزایش می‌یابد.



شکل ۷ سیگنال‌های جریان تخلیه الکتروشیمیایی در غلظت‌های وزنی مختلف الکتروولیت KOH (۱۵٪، ۲۵٪ و ۳۵٪)

۶- فهرست علائم

شدت جریان (A) I

(C) دما T

زیرنویس‌ها

مقدار بیشینه max

مقدار متوسط Ave

۷- مراجع

- [1] R. Wüthrich, L. Hof, A. Lal, K. Fujisaki, H. Bleuler, P. Mandin, G. Picard, Physical principles and miniaturization of spark assisted chemical engraving (SACE), *Micromechanics and Microengineering*, Vol. 15, No. 10, pp. S268, 2005.
- [2] H. Kurafuji, *Electrical Discharge Drilling of Glass I*, Ann. CIRP, Vol. 16, pp. 415-419, 1968.
- [3] M. Kubota, in *Proceedings of the International Conference on Production Engineering*, pp. 51, 1974.
- [4] S. Tandon, V. Jain, P. Kumar, K. Rajurkar, Investigations into machining of composites, *Precision engineering*, Vol. 12, No. 4, pp. 227-238, 1990.
- [5] H. Lange, V. Faschio, R. Wüthrich, D. Viquerat, Three-Dimensional Structuring of Pyrex Glass Devices—Trajectory Control, in *Proceeding of International Conference of the European Society for Precision Engineering and Nanotechnology (EUSPEN)*, pp. 435-438, 2002.
- [6] K. Allesu ,A. Ghosh, M. Muju, A preliminary qualitative approach of a proposed mechanism of material removal in electrical machining of glass, *mechanical engineering*, Vol. 36, No. 3, pp. 201-207, 1991.
- [7] N. Cook, G. Foote, P. Jordan, B. Kalyani, Experimental studies in electro-machining, *Manufacturing Science and Engineering*, Vol. 95, No. 4, pp. 945-950, 1973.
- [8] S. K. Jui, A. B. Kamaraj, M. M. Sundaram, High aspect ratio micromachining of glass by electrochemical discharge machining (ECDM), *Manufacturing Processes*, Vol. 15, No. 4, pp. 460-466, 2013.
- [9] J. D. A. Ziki, T. F. Didar, R. Wüthrich, Micro-texturing channel surfaces on glass with spark assisted chemical engraving, *Machine Tools and Manufacture*, Vol. 57, pp. 66-72, 2012.
- [10] T. F. Didar, *Micro-fabrication with Spark Assisted Chemical Engraving (SACE) Technology*, Thesis, Department of Mechanical and Industrial Engineering, Concordia University, 2008.
- [11] R. Wüthrich, *Micromachining using electrochemical discharge phenomenon: fundamentals and applications of spark assisted chemical engraving*: William Andrew, 2009.
- [12] I. Basak, *Electrochemical discharge machining mechanism and a scheme for enhancing material removal capacity*, Thesis, Dissertation Thesis, Indian Institute of Technology, Kanpur, India, 1991.
- [13] A. A. Alexandrov, The equations for thermophysical properties of aqueous solutions of sodium hydroxide, in *Proceeding of the 14th International Conference on the Properties of Water and Steam*, pp. 86-90, 2005.